


ZAKRES AKREDYTACJI
LABORATORIUM BADAWCZEGO
SCOPE OF ACCREDITATION FOR TESTING LABORATORY
Nr/No AB 1689

wydany przez / issued by
POLSKIE CENTRUM AKREDYTACJI
01-382 Warszawa, ul. Szczotkarska 42

Wydanie/Issue 8 z/of 25.04.2024

 AB 1689	Nazwa i adres / Name and address PORR S.A. ul. Hołubcowa 123 02-854 Warszawa LABORATORIUM TECHNOLOGICZNE ul. Wólczyńska 237 01-919 Warszawa
Kod identyfikacyjny / Identification code ¹⁾	Dziedzina i przedmiot badań / Field of testing and item:
<ul style="list-style-type: none"> - N/5/P - N/5 - J/5/P - J/5 	<ul style="list-style-type: none"> - Badania właściwości fizycznych i pobieranie próbek wyrobów budowlanych / Tests of physical properties and sampling of building products and building materials - Badania właściwości fizycznych wyrobów i materiałów budowlanych / Tests of physical properties of building products and building materials - Badania mechaniczne i pobieranie próbek wyrobów budowlanych/ Mechanical tests and sampling of building products - Badania mechaniczne wyrobów budowlanych / Mechanical tests of building products

Wersja strony/Page version: A

¹⁾ Kod identyfikacyjny zgodnie z załącznikiem do dokumentu DAB-07 dostępnym na stronie internetowej www.pca.gov.pl /
The identification code according to the Annex to document DAB-07, available at PCA website www.pca.gov.pl

KIEROWNIK DZIAŁU AKREDYTACJI
BADAŃ MECHANICZNYCH I FIZYCZNYCH

MARIA SZAFRAN

Niniejszy dokument jest załącznikiem do Certyfikatu Akredytacji Nr AB 1689 z dnia 02.09.2020 r.
Cykl akredytacji od 05.07.2022 r. do 17.07.2026 r.

Status akredytacji oraz aktualność zakresu akredytacji można potwierdzić na stronie internetowej PCA www.pca.gov.pl

This document is an annex to accreditation certificate No. AB 1689 of 02.09.2020
Accreditation cycle from 05.07.2022 to 17.07.2026

The status of accreditation and validity of the scope of accreditation can be confirmed at PCA website www.pca.gov.pl

Laboratorium Technologiczne Laboratorium Centralne ul. Wólczyńska 237, 01-919 Warszawa		
Przedmiot badań/wyrób	Rodzaj działalności/ badane cechy/metoda	Dokumenty odniesienia
Kruszywa	Skład ziarnowy Zakres: (0-80) mm Metoda przesiewania	PN-EN 933-1:2012
	Wskaźnik kształtu Zakres: (0-63) mm Metoda suwmiarką Schultza	PN-EN 933-4:2008
	Wskaźnik piaskowy	PN-EN 933-8+A1:2015-07
	Gęstość ziarn i nasiąkliwość Zakres: (0,063-31,5) mm Metoda piknometryczna	PN-EN 1097-6:2022-07 p. 8 i 9
	Gęstość ziarn i nasiąkliwość Zakres: (31,5-63,0) mm Metoda drucianego kosza	PN-EN 1097-6:2022-07 p. 7
	Zawartość wody	PN-EN 1097-5:2008
	Potencjalna reaktywność alkaliczna Metoda szybka	PN-92/B-06714/46
	Odporność na rozdrabnianie Metoda Los Angeles	PN-EN 1097-2:2020-09
	Reaktywność alkaliczna Metoda beleczkowa przyspieszona	Procedura badawcza GDDKiA PB/1/18 (marzec 2022)
	Pobieranie próbek	PN-EN 932-1:1999 p. 8.8
	Mieszanka betonowa	Konsystencja Zakres: (10-210) mm Metoda opadu stożka
Konsystencja Zakres: (340-630) mm Metoda stolika rozpliwowego		PN-EN 12350-5:2019-08
Zawartość powietrza Zakres (0,1-10) % Metoda ciśnieniomierza		PN-EN 12350-7:2019-08 z wyłączeniem punktu 5
Gęstość		PN-EN 12350-6:2019-08
Pobieranie próbek		PN-EN 12350-1:2019-07
Beton	Wytrzymałość na ściskanie Zakres siły: (30-3000) kN	PN-EN 12390-3:2011 PN-EN 12390-3:2011/AC:2012 PN EN 12390-3:2019-07
	Gęstość	PN-EN 12390-7:2011 PN-EN 12390-7:2019-08 PN-EN 12390-7:2019-08/AC:2021-01
	Odporność na zamrażanie i rozmrażanie w obecności soli odładzających Metoda Slab test	PKN-CEN/TS 12390-9:2017-07
	Odporność na działanie mrozu Metoda zwykła	PN-88/B-06250 pkt 6.5.1 PN-B-06265:2022-08, Załącznik N
	Przepuszczalność wody	PN-88/B-06250
	Nasiąkliwość	PN-88/B-06250
	Głębokość penetracji wody pod ciśnieniem	PN-EN 12390-8:2019-08

Wersja strony: A

Przedmiot badań/wyrób	Rodzaj działalności/ badane cechy/metoda	Dokumenty odniesienia	
Beton	Wytrzymałość na zginanie Zakres siły: (2-200) kN	PN-EN 12390-5:2011 PN-EN 12390-5:2019-08	
	Wytrzymałość na rozciąganie przy rozłupywaniu Zakres siły: (30-3000) kN	PN-EN 12390-6:2011	
Beton w konstrukcji	Pobieranie próbek	PN-EN 12504-1:2019-08	
Mieszanki mineralno-asfaltowe	Gęstość w wodzie Zakres: (2,000-3,300) Mg/m ³ Metoda A	PN-EN 12697-5:2010 PN-EN 12697-5:2010/AC:2012 PN-EN 12697-5:2019-01	
	Gęstość objętościowa Zakres: (2,000-2,750) Mg/m ³ Metoda B	PN-EN 12697-6:2012 PN-EN 12697-6:2020-07	
	Zawartość lepiszcza rozpuszczalnego Zakres: (2-10) %	PN-EN 12697-1:2012 p. B.1.2 PN-EN 12697-1:2020-08 p. B.1.7	
	Uziarnienie Zakres: (0-45) mm	PN-EN 12697-2:2015-06 PN-EN 12697-2+A1:2019-12 PN-EN 933-1:2012	
	Wrażliwość na działanie wody Metoda A	PN-EN 12697-12:2018-08	
	Odporność na deformację pod obciążeniem Metoda B, mały aparat (w powietrzu)	PN-EN 12697-22:2008 PN-EN 12697-22:2020-07	
	Splywność lepiszcza Metoda zlewki	PN-EN 12697-18:2017-07	
	Twardość (penetracja) na próbkach sześciennych	PN-EN 12697-20:2012 PN-EN 12697-20:2020-07	
	Zawartość wolnej przestrzeni (Z obliczeń)	PN-EN 12697-8:2005 PN-EN 12697-8:2019-01	
	Sczepność międzywarstwowa warstw asfaltowych Metoda Leutnera	Instrukcja laboratoryjnego badania sczepności międzywarstwowej warstw asfaltowych wg metody Leutnera i wymagania techniczne sczepności, wyd. Politechnika Gdańska, 31.08.2014	
	Asfalty i lepiszcza asfaltowe	Temperatura mięknięcia Metoda pierścienia i kuli	PN-EN 1427:2015-08
		Penetracja igłą	PN-EN 1426:2015-08

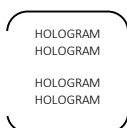
Wersja strony: A

Przedmiot badań/wyrób	Rodzaj działalności/ badane cechy/metoda	Dokumenty odniesienia
Grunty	Uziarnienie Metoda przesiewania	PN-88/B-04481
	Wilgotność optymalna Maksymalna gęstość objętościowa szkieletu gruntowego Metoda Proctora	PN-88/B-04481
Podłoże	Moduł odkształcenia Zakres obciążenia: (0,02 – 0,35) MPa Metoda obciążeń płytą VSS	PN-S-02205:1998 Załącznik B
Warstwy konstrukcyjne nawierzchni	Moduł odkształcenia Zakres obciążenia: (0,02 – 0,45) MPa Metoda obciążeń płytą VSS	PN-S-02205:1998 Załącznik B
Nawierzchnie drogowe	Profile poprzeczne i podłużne (nierówności) Zakres: (0-20) cm Metoda: profilometryczna urządzenie typu inercyjnego - profilograf laserowy	PN-EN 13036-6:2008 Rozporządzenie Ministra Infrastruktury z dnia 01.08.2019 r. (Dz.U. 2019 poz.1643) WR-D-64 Wytyczne określania cech powierzchniowych nawierzchni jezdni i innych części dróg, wersja 01 z dnia 18.07.2022 p. 5 i 6
	Międzynarodowy Wskaźnik Równości Podłużnej IRI (z obliczeń) Średnia głębokość profilu Metoda: profilometryczna urządzenie typu inercyjnego - profilograf laserowy	PN-EN ISO 13473-1:2019-04 WR-D-64 Wytyczne określania cech powierzchniowych nawierzchni jezdni i innych części dróg, wersja 01 z dnia 18.07.2022 p. 4.3

Wersja strony: A

Wykaz zmian Zakresu Akredytacji Nr AB 1689

Status zmian: wersja pierwotna – A



Zatwierdzam status zmian


**KIEROWNIK DZIAŁU AKREDYTACJI
BADAŃ MECHANICZNYCH I FIZYCZNYCH**

MARIA SZAFRAN
dnia: 25.04.2024 r.

ZAKRES AKREDYTACJI
LABORATORIUM BADAWCZEGO
SCOPE OF ACCREDITATION FOR TESTING LABORATORY
Nr/No AB 1689

wydany przez / issued by
POLSKIE CENTRUM AKREDYTACJI
01-382 Warszawa, ul. Szczotkarska 42

Wydanie/Issue 8 z/of 25.04.2024

 AB 1689	Nazwa i adres / Name and address PORR S.A. ul. Hołubcowa 123 02-854 Warszawa LABORATORIUM TECHNOLOGICZNE ul. Wólczyńska 237 01-919 Warszawa
Kod identyfikacyjny / Identification code ¹⁾	Dziedzina i przedmiot badań / Field of testing and item:
<ul style="list-style-type: none"> - N/5/P - N/5 - J/5/P - J/5 	<ul style="list-style-type: none"> - Badania właściwości fizycznych i pobieranie próbek wyrobów budowlanych / Tests of physical properties and sampling of building products and building materials - Badania właściwości fizycznych wyrobów i materiałów budowlanych / Tests of physical properties of building products and building materials - Badania mechaniczne i pobieranie próbek wyrobów budowlanych/ Mechanical tests and sampling of building products - Badania mechaniczne wyrobów budowlanych / Mechanical tests of building products

Wersja strony/Page version: A

¹⁾ Kod identyfikacyjny zgodnie z załącznikiem do dokumentu DAB-07 dostępnym na stronie internetowej www.pca.gov.pl /
The identification code according to the Annex to document DAB-07, available at PCA website www.pca.gov.pl

KIEROWNIK DZIAŁU AKREDYTACJI
BADAŃ MECHANICZNYCH I FIZYCZNYCH

MARIA SZAFRAN

Niniejszy dokument jest załącznikiem do Certyfikatu Akredytacji Nr AB 1689 z dnia 02.09.2020 r.
Cykl akredytacji od 05.07.2022 r. do 17.07.2026 r.

Status akredytacji oraz aktualność zakresu akredytacji można potwierdzić na stronie internetowej PCA www.pca.gov.pl

This document is an annex to accreditation certificate No. AB 1689 of 02.09.2020
Accreditation cycle from 05.07.2022 to 17.07.2026

The status of accreditation and validity of the scope of accreditation can be confirmed at PCA website www.pca.gov.pl

Laboratorium Technologiczne Laboratorium Centralne ul. Wólczyńska 237, 01-919 Warszawa		
Przedmiot badań/wyrób	Rodzaj działalności/ badane cechy/metoda	Dokumenty odniesienia
Kruszywa	Skład ziarnowy Zakres: (0-80) mm Metoda przesiewania	PN-EN 933-1:2012
	Wskaźnik kształtu Zakres: (0-63) mm Metoda suwmiarką Schultza	PN-EN 933-4:2008
	Wskaźnik piaskowy	PN-EN 933-8+A1:2015-07
	Gęstość ziarn i nasiąkliwość Zakres: (0,063-31,5) mm Metoda piknometryczna	PN-EN 1097-6:2022-07 p. 8 i 9
	Gęstość ziarn i nasiąkliwość Zakres: (31,5-63,0) mm Metoda drucianego kosza	PN-EN 1097-6:2022-07 p. 7
	Zawartość wody	PN-EN 1097-5:2008
	Potencjalna reaktywność alkaliczna Metoda szybka	PN-92/B-06714/46
	Odporność na rozdrabnianie Metoda Los Angeles	PN-EN 1097-2:2020-09
	Reaktywność alkaliczna Metoda beleczkowa przyspieszona	Procedura badawcza GDDKiA PB/1/18 (marzec 2022)
	Pobieranie próbek	PN-EN 932-1:1999 p. 8.8
	Mieszanka betonowa	Konsystencja Zakres: (10-210) mm Metoda opadu stożka
Konsystencja Zakres: (340-630) mm Metoda stolika rozpliwowego		PN-EN 12350-5:2019-08
Zawartość powietrza Zakres (0,1-10) % Metoda ciśnieniomierza		PN-EN 12350-7:2019-08 z wyłączeniem punktu 5
Gęstość		PN-EN 12350-6:2019-08
Pobieranie próbek		PN-EN 12350-1:2019-07
Beton	Wytrzymałość na ściskanie Zakres siły: (30-3000) kN	PN-EN 12390-3:2011 PN-EN 12390-3:2011/AC:2012 PN EN 12390-3:2019-07
	Gęstość	PN-EN 12390-7:2011 PN-EN 12390-7:2019-08 PN-EN 12390-7:2019-08/AC:2021-01
	Odporność na zamrażanie i rozmrażanie w obecności soli odładzających Metoda Slab test	PKN-CEN/TS 12390-9:2017-07
	Odporność na działanie mrozu Metoda zwykła	PN-88/B-06250 pkt 6.5.1 PN-B-06265:2022-08, Załącznik N
	Przepuszczalność wody	PN-88/B-06250
	Nasiąkliwość	PN-88/B-06250
	Głębokość penetracji wody pod ciśnieniem	PN-EN 12390-8:2019-08

Wersja strony: A

Przedmiot badań/wyrób	Rodzaj działalności/ badane cechy/metoda	Dokumenty odniesienia	
Beton	Wytrzymałość na zginanie Zakres siły: (2-200) kN	PN-EN 12390-5:2011 PN-EN 12390-5:2019-08	
	Wytrzymałość na rozciąganie przy rozłupywaniu Zakres siły: (30-3000) kN	PN-EN 12390-6:2011	
Beton w konstrukcji	Pobieranie próbek	PN-EN 12504-1:2019-08	
Mieszanki mineralno-asfaltowe	Gęstość w wodzie Zakres: (2,000-3,300) Mg/m ³ Metoda A	PN-EN 12697-5:2010 PN-EN 12697-5:2010/AC:2012 PN-EN 12697-5:2019-01	
	Gęstość objętościowa Zakres: (2,000-2,750) Mg/m ³ Metoda B	PN-EN 12697-6:2012 PN-EN 12697-6:2020-07	
	Zawartość lepiszcza rozpuszczalnego Zakres: (2-10) %	PN-EN 12697-1:2012 p. B.1.2 PN-EN 12697-1:2020-08 p. B.1.7	
	Uziarnienie Zakres: (0-45) mm	PN-EN 12697-2:2015-06 PN-EN 12697-2+A1:2019-12 PN-EN 933-1:2012	
	Wrażliwość na działanie wody Metoda A	PN-EN 12697-12:2018-08	
	Odporność na deformację pod obciążeniem Metoda B, mały aparat (w powietrzu)	PN-EN 12697-22:2008 PN-EN 12697-22:2020-07	
	Spływność lepiszcza Metoda zlewki	PN-EN 12697-18:2017-07	
	Twardość (penetracja) na próbkach sześciennych	PN-EN 12697-20:2012 PN-EN 12697-20:2020-07	
	Zawartość wolnej przestrzeni (Z obliczeń)	PN-EN 12697-8:2005 PN-EN 12697-8:2019-01	
	Sczepność międzywarstwowa warstw asfaltowych Metoda Leutnera	Instrukcja laboratoryjnego badania sczepności międzywarstwowej warstw asfaltowych wg metody Leutnera i wymagania techniczne sczepności, wyd. Politechnika Gdańska, 31.08.2014	
	Asfalty i lepiszcza asfaltowe	Temperatura mięknięcia Metoda pierścienia i kuli	PN-EN 1427:2015-08
		Penetracja igłą	PN-EN 1426:2015-08

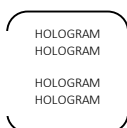
Wersja strony: A

Przedmiot badań/wyrób	Rodzaj działalności/ badane cechy/metoda	Dokumenty odniesienia
Grunty	Uziarnienie Metoda przesiewania	PN-88/B-04481
	Wilgotność optymalna Maksymalna gęstość objętościowa szkieletu gruntowego Metoda Proctora	PN-88/B-04481
Podłoże	Moduł odkształcenia Zakres obciążenia: (0,02 – 0,35) MPa Metoda obciążeń płytą VSS	PN-S-02205:1998 Załącznik B
Warstwy konstrukcyjne nawierzchni	Moduł odkształcenia Zakres obciążenia: (0,02 – 0,45) MPa Metoda obciążeń płytą VSS	PN-S-02205:1998 Załącznik B
Nawierzchnie drogowe	Profile poprzeczne i podłużne (nierówności) Zakres: (0-20) cm Metoda: profilometryczna urządzenie typu inercyjnego - profilograf laserowy	PN-EN 13036-6:2008 Rozporządzenie Ministra Infrastruktury z dnia 01.08.2019 r. (Dz.U. 2019 poz.1643) WR-D-64 Wytyczne określania cech powierzchniowych nawierzchni jezdni i innych części dróg, wersja 01 z dnia 18.07.2022 p. 5 i 6
	Średnia głębokość profilu Metoda: profilometryczna urządzenie typu inercyjnego - profilograf laserowy	PN-EN ISO 13473-1:2019-04 WR-D-64 Wytyczne określania cech powierzchniowych nawierzchni jezdni i innych części dróg, wersja 01 z dnia 18.07.2022 p. 4.3

Wersja strony: A

Wykaz zmian Zakresu Akredytacji Nr AB 1689

Status zmian: wersja pierwotna – A



Zatwierdzam status zmian

**KIEROWNIK DZIAŁU AKREDYTACJI
BADAŃ MECHANICZNYCH I FIZYCZNYCH**

MARIA SZAFRAN
dnia: 25.04.2024 r.